

1. まえがき

前報¹⁾で Irwin²⁾により提唱された応力拡大係数〔Stress intensity factor, $K(\text{kg cm}^{-3/2})$ 〕の概念によってコンクリートの破壊強さ・破壊じん性の検討の結果、人工切り欠きを有するはりで \sqrt{aW} (a :切り欠き深さ, W :供試体の高さ)の変化にともない変動の大きな最大荷重(P_{\max})に比べ、変動のより少ない限界応力拡大係数(K_c)の方が特性値として適当であり、さらにAE法によれば、 P_{\max} より約5%低い荷重レベルで曲げ破壊が予知できることがわかった。また $\sqrt{aW} \approx 0.04$ 付近以下の切り欠きを有するコンクリートにおいては、 P_{\max} の変動はきわめて小さく、切り欠きによる影響はほとんどないものと認められた。

ここでは、 \sqrt{aW} と P_{\max} 、 \sqrt{aW} と K_c との関係を定量的に検討を加えるとともに、 P_{\max} および K_c とAE法から求めた特性値との関係についても検討した。

2. 材料および供試体作製

供試体は普通ポルトランドセメント、川砂、川砂利を使用し配合を表-1に示す。練りませはアイリッヒ型ミキサを用い、 $10 \times 10 \times 42 \text{ cm}$ の角柱供試体を作製し、湿空養生と水中養生の2種類で1週間養生した。切り欠き深さは5, 10, 15, 20, 35, 50 mmの6種類で、切り欠きには岩石切断機(刃巾15 mm)を用いた。

3. 実験方法

図-1に示す3等分点載荷法で曲げ載荷した。開口変位計により荷重と開口変位量との関係をX-Yレコーダに記録させ、また微小ひびわれの発生・伝播にともなうノイズを検出するために、供試体側面中央にAEセンサーを圧着し、2ペンオシログラフに記録した。

4. 実験結果および考察

(1) \sqrt{aW} と P_{\max} 、 K_c との関係

図-2に K_c と \sqrt{aW} との関係を示した。両因子は次式で近似される。

$K_c = 20(\sqrt{aW}) + 53.45 \approx 57.1 \text{ kg cm}^{-3/2}$ また \sqrt{aW} による K_c の変動は P_{\max} (図-3)に比べはるかに小さく、材料特性値として適当であることがわかる。

一方 $\bar{K}_c = 57.1 \text{ kg cm}^{-3/2}$ となるための P_{\max} の理論的推定曲線を図-3に破線以示す。また実線は実測値を最小2乗法で求めた $P = 12268 - 3403.9(\sqrt{aW}) + 3013.9(\sqrt{aW})^2$ の2次曲線である。ほぼ同様な傾向を示しているが、 $\sqrt{aW} < 0.1$ では大きな相違が見られることから、 K_c の決定に利用する無次元補正項 Y^D の値に関しさらに検討・修正を加える必要がある。また一般に同一 \sqrt{aW} に対して、 P_{\max} 、 K_c の値にばらつきが見られるが、これは粗骨材の形状・寸法、配合比などの諸因子に起因するものと思われる。さらに細部にわたり検討の要がある。

(2) P_{\max} と P_{AE} 、 K_c と K_{AE} との関係

AE法により急速ひびわれ伝播開始点を、Counterの急増し始める点としその荷重を P_{AE} とする。図-4より P_{AE} によると P_{\max} より約5%早く破壊を予知することが可能であることがわかる。また $\sqrt{aW} \leq 0.20$ において、近似的に一次関数として求めてみると P_{\max} に比べ表-2より P_{AE} は相関係数において約2%高い値を示す。また図-5によると、 \sqrt{aW} による K のばらつきは K_c に比べ K_{AE} の方が小さく、AE評価法によりさらに安定した K の決定が可能であることがわかる。

5. あとがき

潜在ひびわれを考慮した場合の無次元補正項 Y の修正、および配合の種類などによる影響については、次報にゆずる。なお本実験には防大堀越弘之技官の助力を得た。付記して謝意を表する。

6. 参考文献

- 1) 森田・佐藤・加藤：コンクリートの破壊じん性とAE評価に関する基礎的研究(第1報)，32回年講5，S.52.10, pp.9~10.
- 2) Irwin, G.R.: Fracture Dynamics, Fracturing of Metals, ASM, 1948.

図-1 実験方法

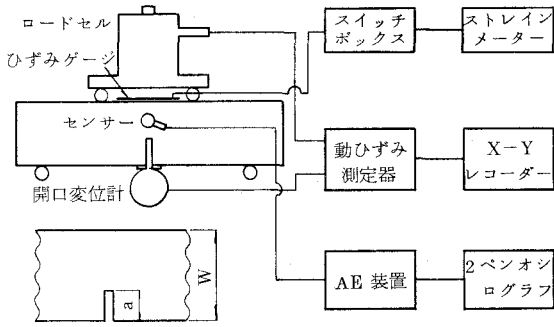


図-3 Pmax と a/W との関係

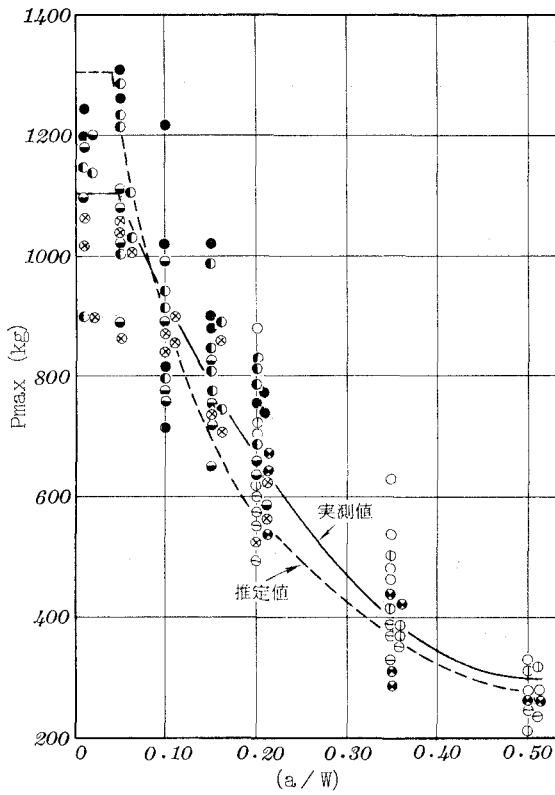


図-4 PAE/Pmax と a/W との関係

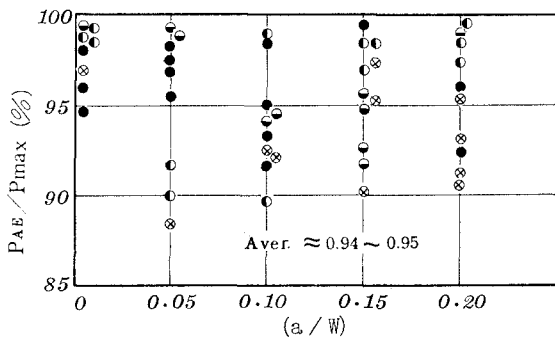


表-1 使用 配合

配合番号	配 合 比				スランプ (cm)	養生方法	記号
	C	S	G	W			
1				0.37	3	湿空	○
2	1	1	2	0.42	15	水中	●
3						湿空	⊖
4						水中	⊙
5	1	2	4	0.55	3	湿空	⊕
6						水中	⊙
7						湿空	⊗
8				0.59	15	水中	⊗

表-2 相関係数の比較

配合番号	相 関 係 数		差
	PAE	Pmax	
2	0.728	0.728	0
4	0.922	0.904	0.018
6	0.788	0.767	0.021
8	0.940	0.922	0.018

差の Aver. ≈ 2 (%)

図-2 Kc と a/W との関係

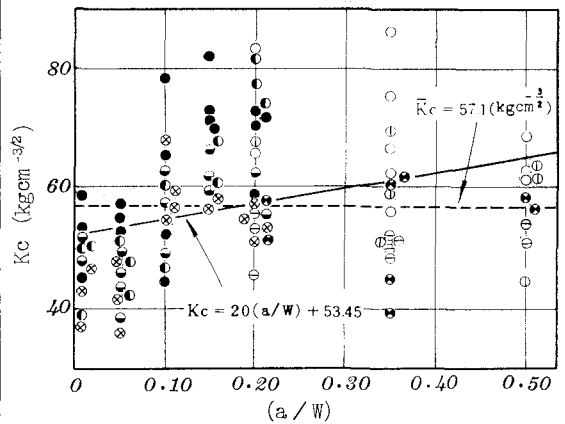


図-5 Kc, KAE と a/W との関係

